

# Commande et estimation pour la robotique mobile

SYS5240

ESIEA 5A

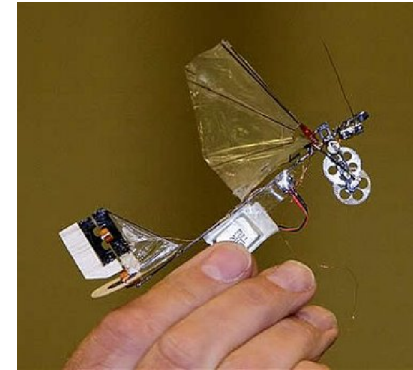
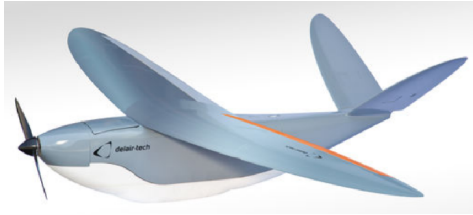
S. Bertrand  
sbertrand@esiea.fr

# Application au drone

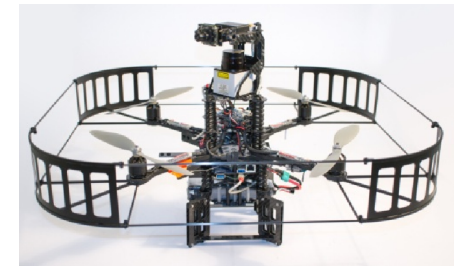
- Introduction
- Modélisation
- Commande
- Estimation

# Introduction

- Différents types de véhicules
  - Voilure fixe, ailes battantes, voilure tournante
  - Toutes tailles (~avion de ligne -> « nano » drone)



- Dans ce cours :
  - drones miniatures à voilure tournante
  - quadrirotors



# Introduction

- Drones quadrirotors : principe de fonctionnement
  - Différentes configurations de vol : en « X », en « + »
  - 6 degrés de liberté (3 translation, 3 rotations)
  - 4 commandes (vitesses de rotation des rotors)=> système sous actionné
  - Couplage entre les mouvements de rotation et de translation

- Fonctionnement en « + » : translation verticale

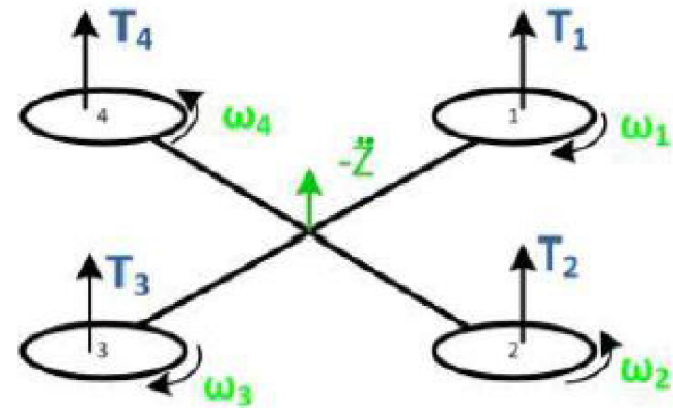


Figure 7: Altitude control

# Introduction

- Fonctionnement en « + » :
  - Rotation en tangage / roulis => translation en X / Y
  - Rotation en lacet

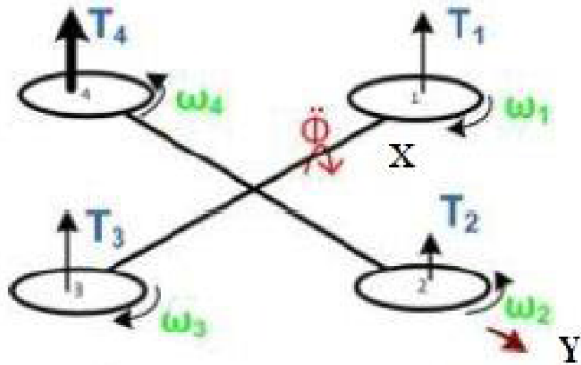


Figure 8: Roll

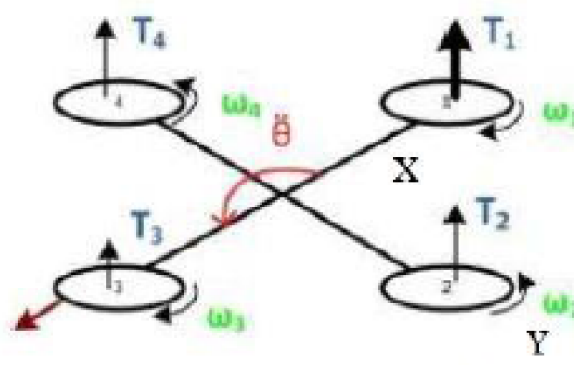


Figure 9: Pitch

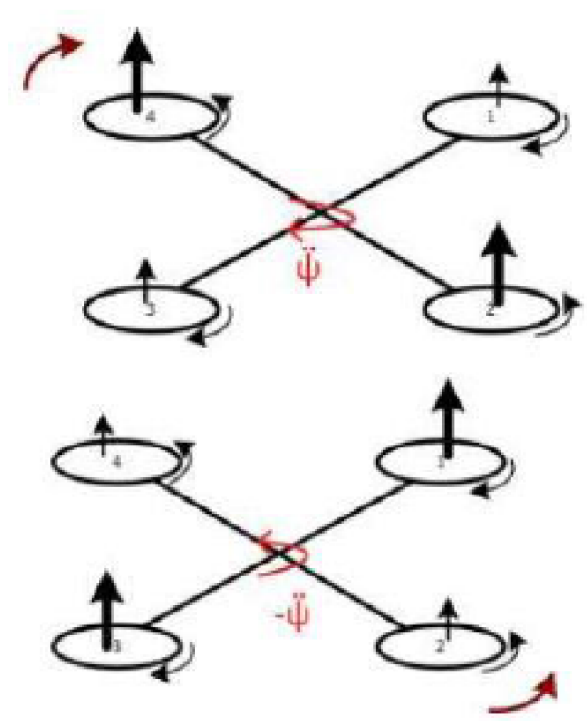


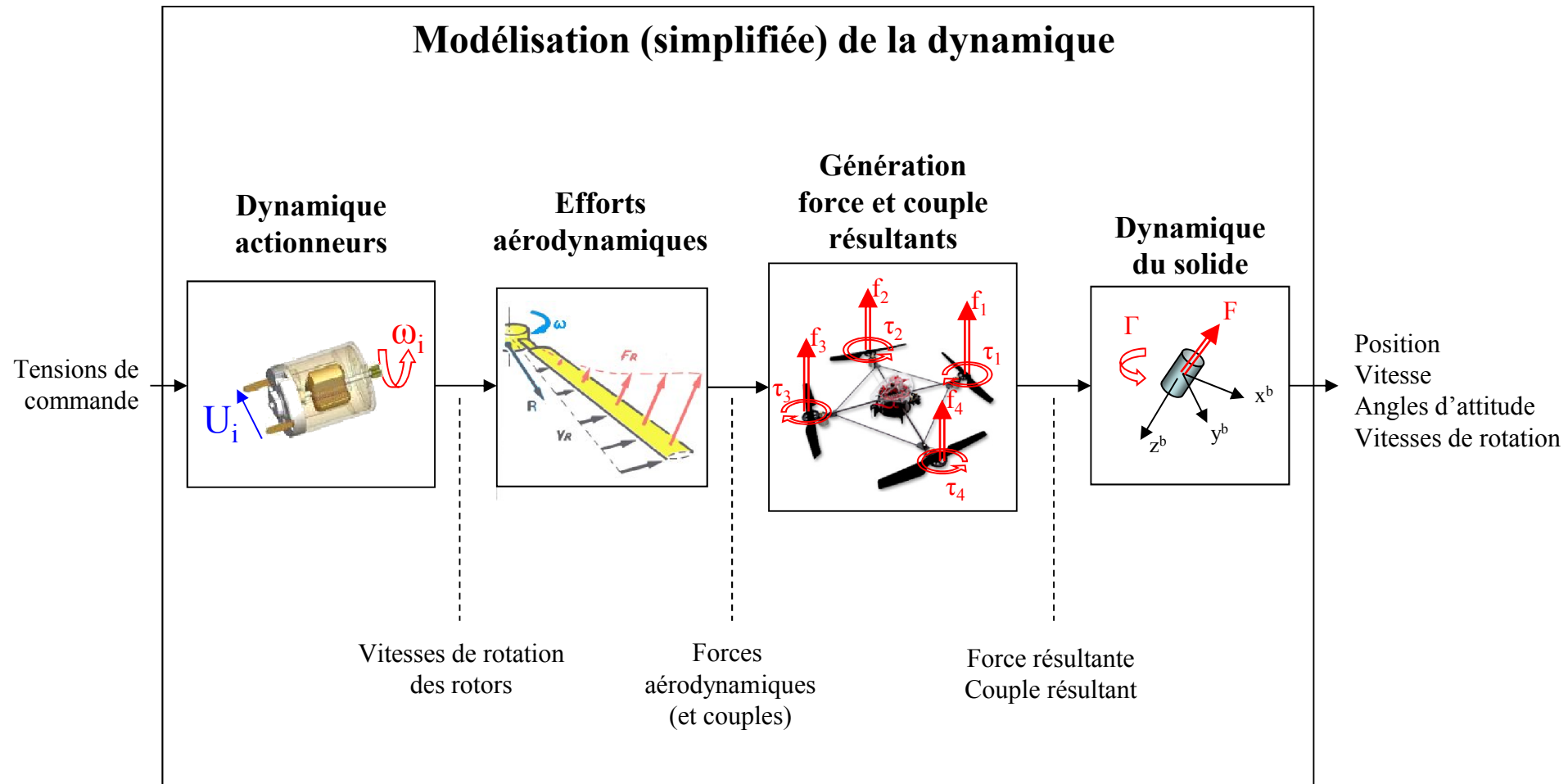
Figure 10: Yaw

# Application au drone

- Introduction
- Modélisation
- Commande
- Estimation

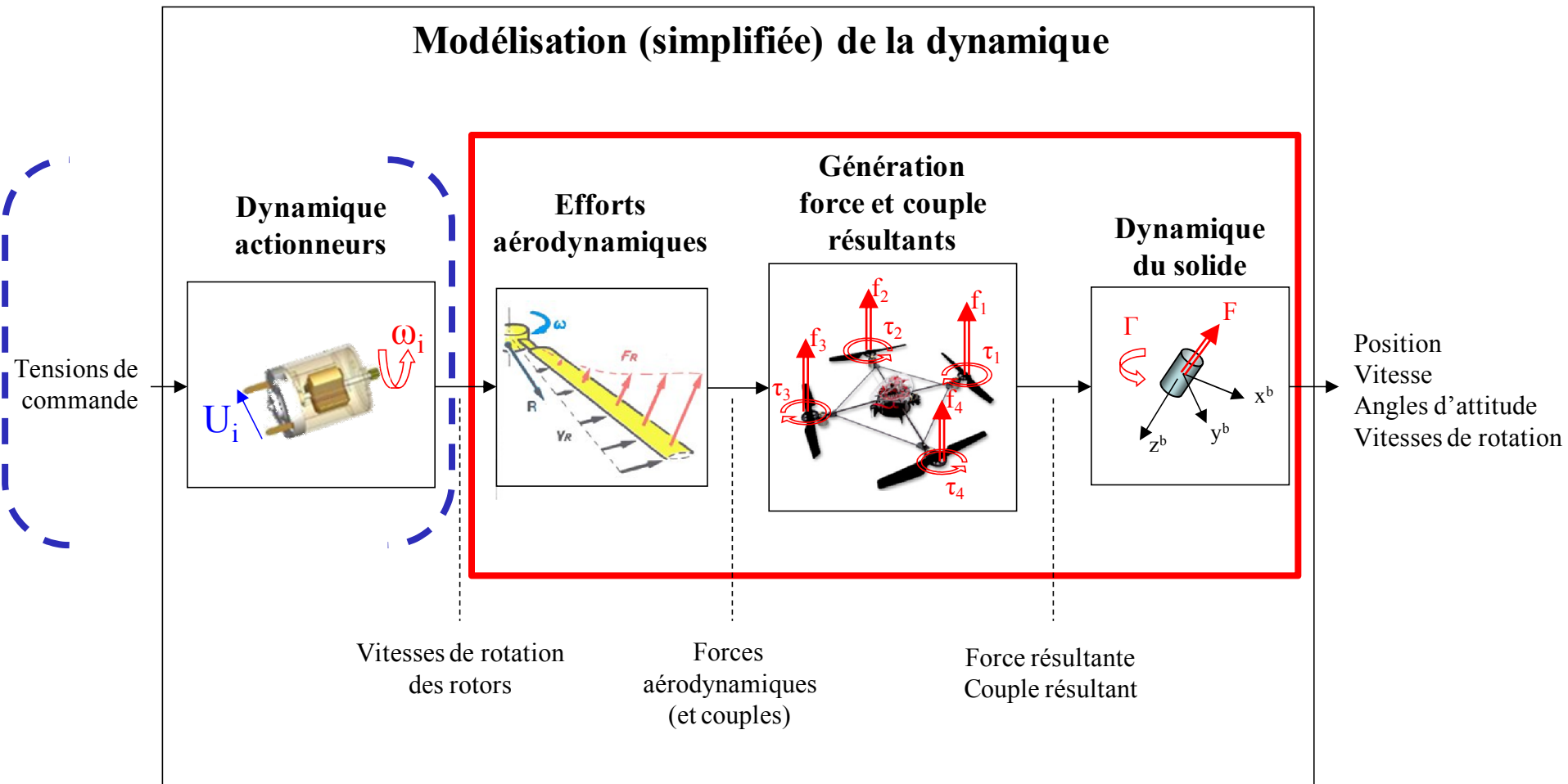
# Modélisation

## Les étapes de modélisation



# Modélisation Moteurs

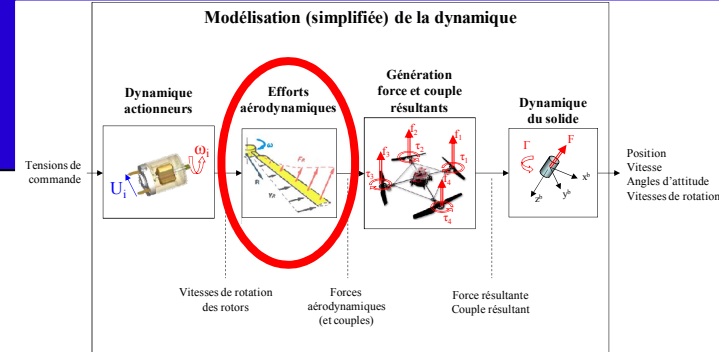
- On supposera l'asservissement moteur réalisé et on négligera sa constante de temps





# Modélisation

## Efforts aérodynamiques



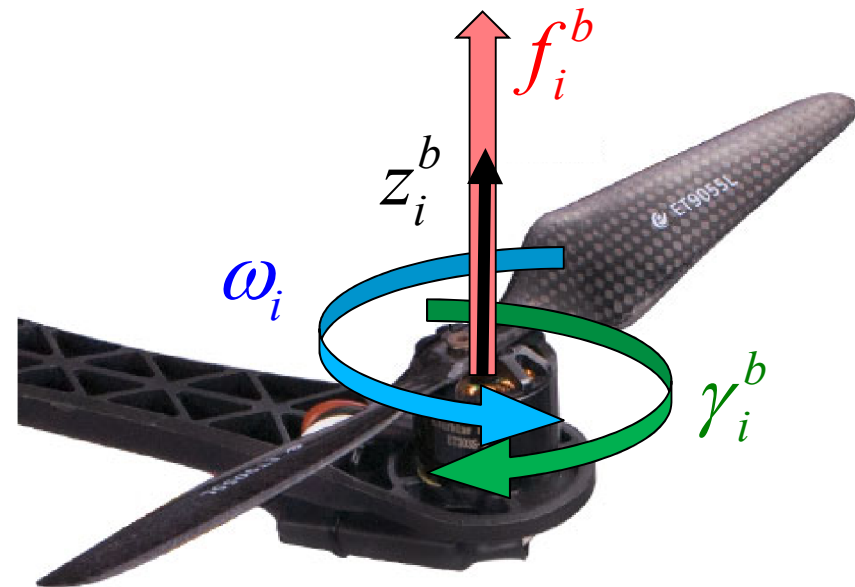
- Force générée par un rotor :  $f_i^b = b.\omega_i^2.z_i^b$
- Couple résistant généré par un rotor :

$$\gamma_i^b = \pm d.\omega_i^2.z_i^b$$

Selon le sens de rotation du rotor

$\omega_i$  : vitesse de rotation rotor  $i$

$b, d$  : constantes aérodynamiques



# Modélisation

## Force et couple résultants

- Force résultante

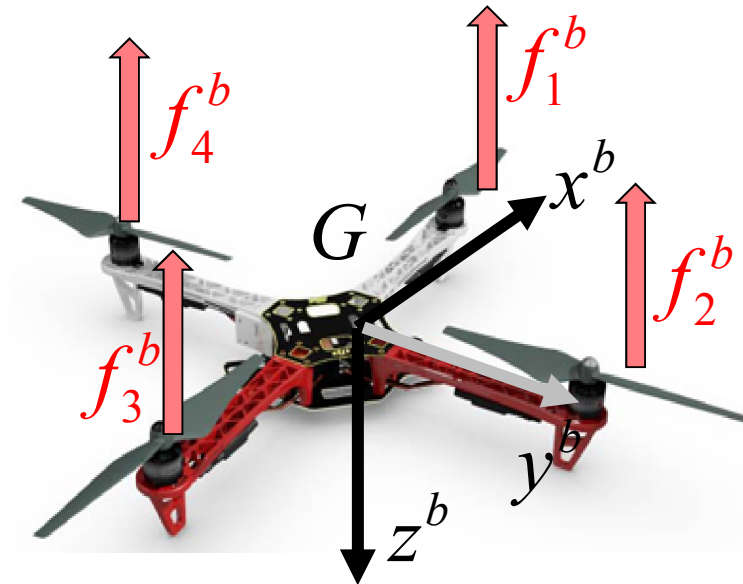
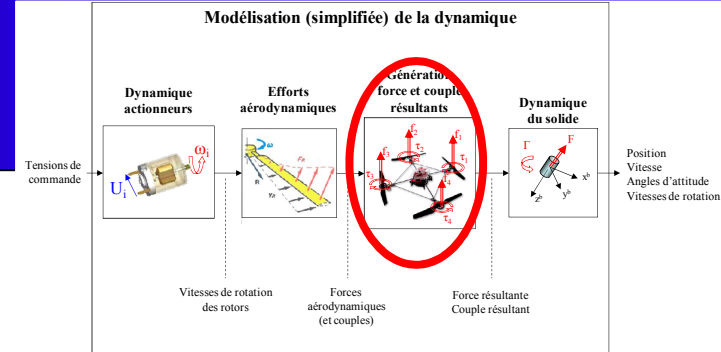
$$F^b = \sum_{i=1}^4 f_i^b = \sum_{i=1}^4 -b \cdot \omega_i^2 \cdot z^b$$

- Couple résultant

$$\Gamma^b = \begin{bmatrix} l \cdot b \cdot (\omega_2^2 - \omega_4^2) \\ l \cdot b \cdot (-\omega_1^2 + \omega_3^2) \\ d \cdot (-\omega_1^2 + \omega_2^2 - \omega_3^2 + \omega_4^2) \end{bmatrix}$$

$\swarrow$   
 couples résistants

$\searrow$   
 application des  $f_i^b$   
 avec un bras de levier

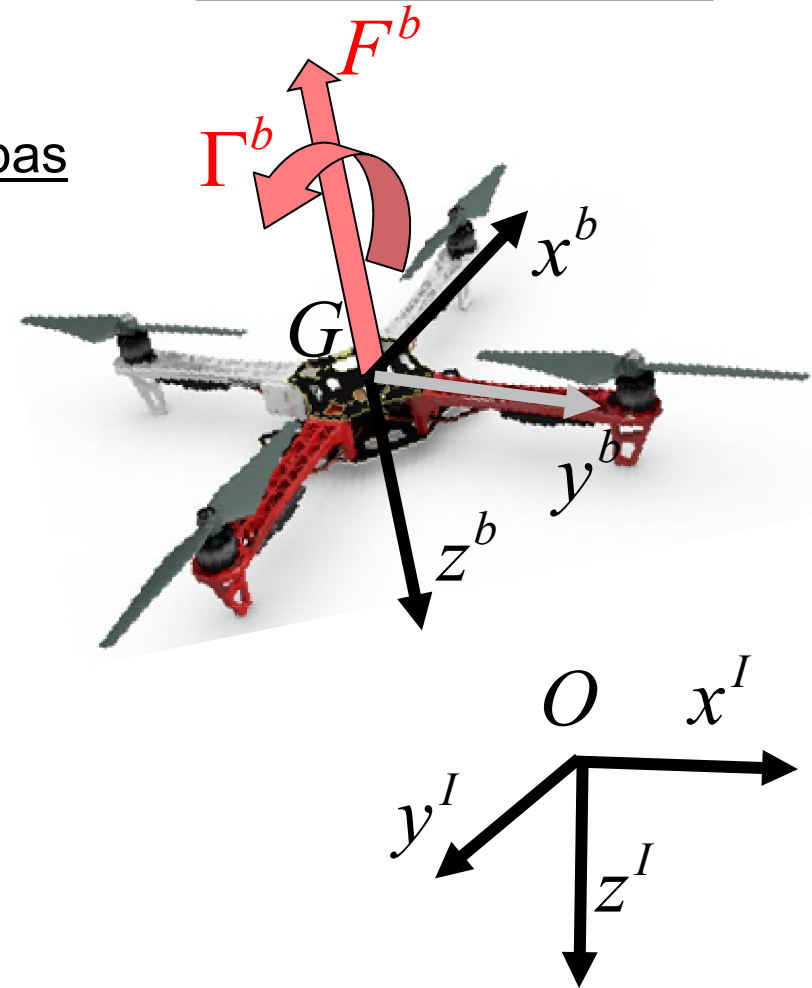
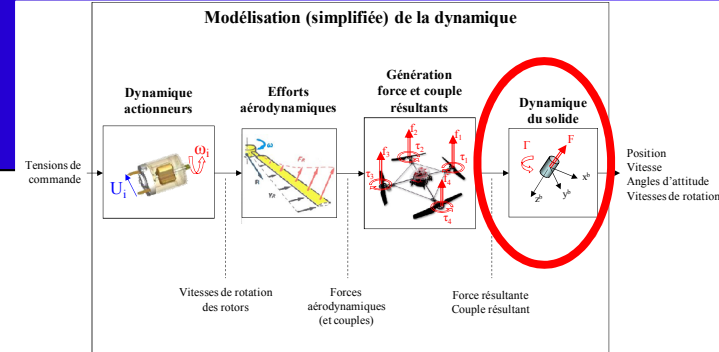


$l$ : longueur d'un bras

- Repère drone:  $(G, x^b, y^b, z^b)$  : convention aéronautique :  $z^b$  vers le bas  
 convention robotique :  $z^b$  vers le haut

# Modélisation Mécanique du solide

- Repère drone  $R^b = (G, x^b, y^b, z^b)$
- Repère fixe  $R^I = (O, x^I, y^I, z^I)$
- !! convention aéronautique :  $z$  vers le bas
- !! convention robotique :  $z$  vers le haut
- Paramétrisation du mouvement :
  - Position
  - Vitesse
  - Orientation
  - Vitesse de rotation



# Modélisation Mécanique du solide

- Orientation du véhicule

- Angles d'Euler

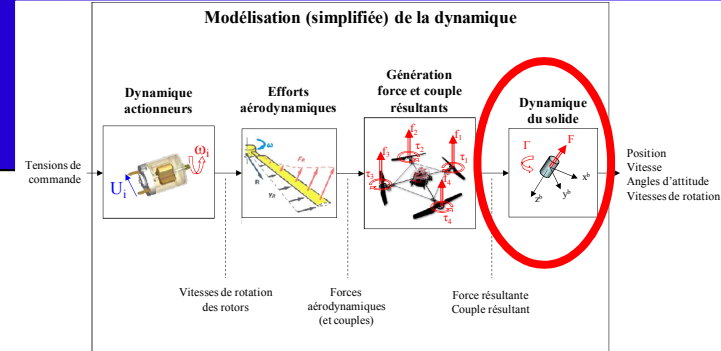
- Lacet :  $\psi$ , tangage :  $\theta$ , roulis :  $\varphi$

- Matrice de rotation

$$R = R_{B \rightarrow E} = \begin{bmatrix} c_\theta c_\psi & s_\phi s_\theta c_\psi - c_\phi s_\psi & c_\phi s_\theta c_\psi + s_\phi s_\psi \\ c_\theta s_\psi & s_\phi s_\theta s_\psi + c_\phi c_\psi & c_\phi s_\theta s_\psi - s_\phi c_\psi \\ -s_\theta & s_\phi c_\theta & c_\phi c_\theta \end{bmatrix}$$

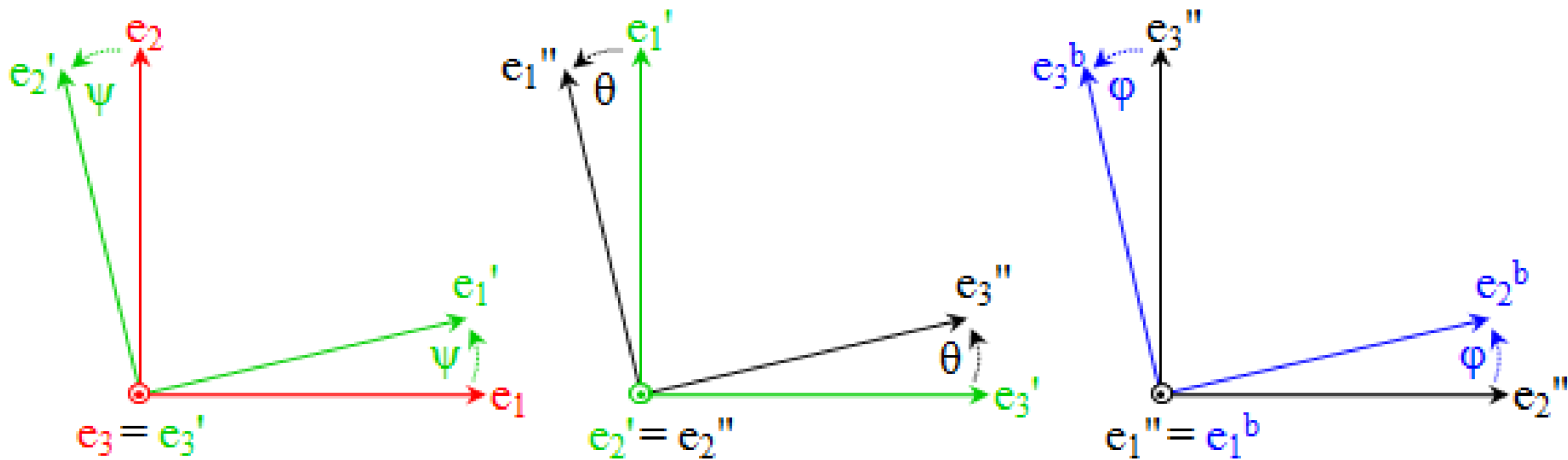
- Quaternion

$$Q = \begin{bmatrix} \frac{q_0}{q} \\ \frac{q_x}{q} \\ \frac{q_y}{q} \\ \frac{q_z}{q} \end{bmatrix}, q_0 \in \mathbb{R}, q \in \mathbb{R}^3$$



# Représentations de l'orientation

- angles d'Euler
  - Lacet :  $\psi$
  - Tangage :  $\theta$
  - Roulis :  $\varphi$



## Représentations de l'orientation

- Matrice de rotation

- Lacet :
- Tangage :
- Roulis :

$$R(z, \psi) = \begin{bmatrix} \cos \psi & \sin \psi & 0 \\ -\sin \psi & \cos \psi & 0 \\ 0 & 0 & 1 \end{bmatrix}$$

$$R(y, \theta) = \begin{bmatrix} \cos \theta & 0 & -\sin \theta \\ 0 & 1 & 0 \\ \sin \theta & 0 & \cos \theta \end{bmatrix}$$

$$R(x, \phi) = \begin{bmatrix} 1 & 0 & 0 \\ 0 & \cos \phi & \sin \phi \\ 0 & -\sin \phi & \cos \phi \end{bmatrix}$$

$$R_{E \rightarrow B} = R(x, \phi) R(y, \theta) R(z, \psi)$$

$$[v]_E = R_{B \rightarrow E} [v]_B$$

$$R = R_{B \rightarrow E} = \begin{bmatrix} c_\theta c_\psi & s_\phi s_\theta c_\psi - c_\phi s_\psi & c_\phi s_\theta c_\psi + s_\phi s_\psi \\ c_\theta s_\psi & s_\phi s_\theta s_\psi + c_\phi c_\psi & c_\phi s_\theta s_\psi - s_\phi c_\psi \\ -s_\theta & s_\phi c_\theta & c_\phi c_\theta \end{bmatrix}$$

- Propriété :  $R^{-1} = R^T = R_{E \rightarrow B}$

$$\det(R) = 1$$

- Quaternion unitaire

$$Q = \begin{bmatrix} q_0 \\ q_x \\ q_y \\ q_z \end{bmatrix}, q_0 \in \mathbb{R}, q \in \mathbb{R}^3 \quad q_0^2 + q^T q = 1$$

Pour une rotation d'angle  $\gamma$  autour d'un axe défini par le vecteur unitaire  $k$  :

$$q = \hat{k} \sin\left(\frac{\gamma}{2}\right), \quad q_0 = \cos\left(\frac{\gamma}{2}\right)$$

**transformations.py**

```
from tf.transformations import euler_from_quaternion
```

```
euler_from_quaternion(quaternion, axes='sxyz'):
```

# Modélisation Mécanique du solide

- Dynamique de translation :
- Relation cinématique (dans  $R^I$ )

$$\dot{\xi} = v$$

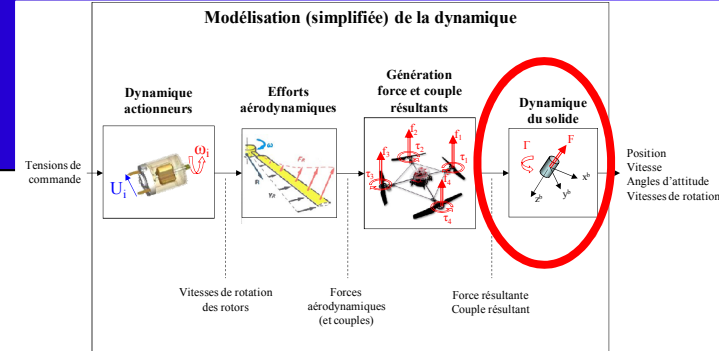
- Principe fondamental de la dynamique (dans  $R^I$ )

$$m.\dot{v} = m.g.z^b + R.F^b$$

$$\begin{cases} \dot{\xi} = v \\ \dot{v} = g.z^b - \frac{T}{m}R.z^b \end{cases}$$

$m$  : masse du drone

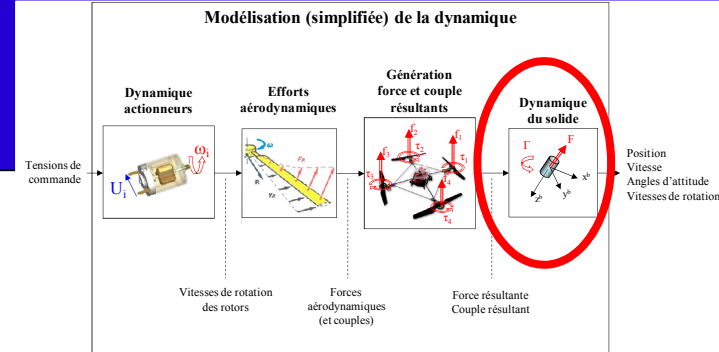
$$T = \|F^b\| = b \sum_{i=1}^4 \omega_i^2$$





# Modélisation Mécanique du solide

- Dynamique de rotation
- Relation cinématique (dans  $R^b$ )



$$\dot{R} = R\Omega_{\times}$$

avec

$$\Omega_{\times} = \begin{bmatrix} 0 & -\omega_r & \omega_q \\ \omega_r & 0 & -\omega_p \\ -\omega_q & \omega_p & 0 \end{bmatrix}$$

Remarque :

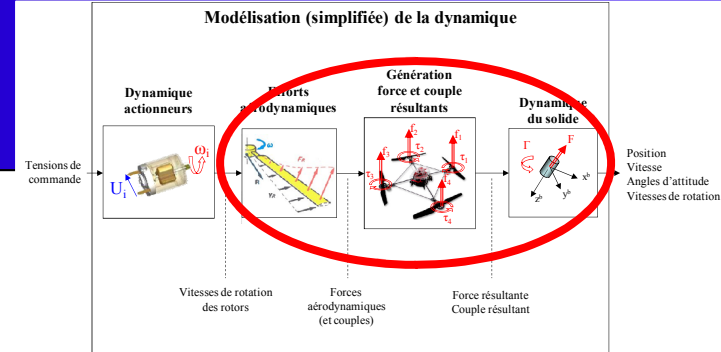
- Il existe des relations cinématiques pour les représentations en angles d'Euler et en quaternion

- Théorème des moments (dans  $R^b$ )

$$J\dot{\Omega} = -\Omega \times J\Omega + \Gamma^b$$

$J$  : matrice d'inertie du drone

# Modélisation Dynamique complète



$$\left\{ \begin{array}{l} \dot{\xi} = v \\ \dot{v} = g \cdot z^b - \frac{T}{m} R \cdot z^b \\ \dot{R} = R \Omega_{\times} \\ J \dot{\Omega} = -\Omega \times J \Omega + \Gamma^b \end{array} \right. \quad \Updownarrow$$

Couplage entre  
les deux dynamiques  
par l'orientation  $R$

Entrées de commande

$$\begin{bmatrix} \mathcal{T} \\ \Gamma_1^b \\ \Gamma_2^b \\ \Gamma_3^b \end{bmatrix} = \begin{bmatrix} b & b & b & b \\ 0 & -l.b & 0 & l.b \\ l.b & 0 & -l.b & 0 \\ d & -d & d & -d \end{bmatrix} \cdot \begin{bmatrix} \omega_1^2 \\ \omega_2^2 \\ \omega_3^2 \\ \omega_4^2 \end{bmatrix}$$

## Représentation d'état

• Etat :  $X = \begin{bmatrix} \xi \\ v \\ \eta \\ \Omega \end{bmatrix} \in \mathbb{R}^{12}$  avec  $\eta = \begin{bmatrix} \phi \\ \theta \\ \psi \end{bmatrix}$

• Commande :  $U = \begin{bmatrix} \mathcal{T} \\ \Gamma_1 \\ \Gamma_2 \\ \Gamma_3 \end{bmatrix} \in \mathbb{R}^4$   $\dot{X} = f(X, U)$

$$U = A * U'$$

$$\begin{bmatrix} \mathcal{T} \\ \Gamma_1 \\ \Gamma_2 \\ \Gamma_3 \end{bmatrix} = \begin{bmatrix} b & b & b & b \\ 0 & -l.b & 0 & l.b \\ l.b & 0 & -l.b & 0 \\ d & -d & d & -d \end{bmatrix} \cdot \begin{bmatrix} \omega_1^2 \\ \omega_2^2 \\ \omega_3^2 \\ \omega_4^2 \end{bmatrix}$$

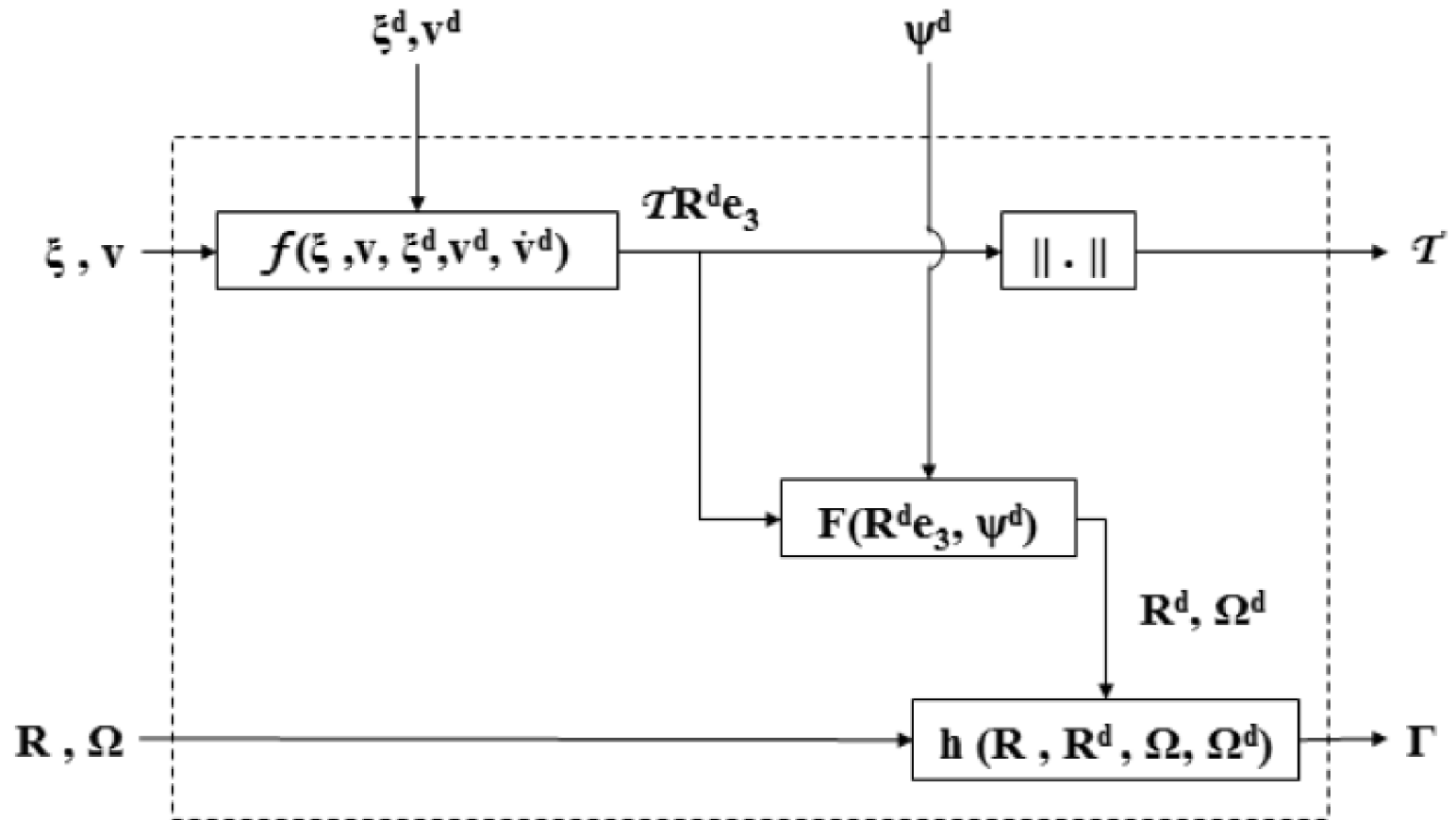
# Application au drone

- Introduction
- Modélisation
- Commande
- Estimation

# Commande

- Sorties commandables :
  - position  $x, y, z$ , angle de lacet  $\psi$
- Variables internes :
  - angles de tangage  $\theta$  et de roulis  $\varphi$
- Commande hiérarchique (cf. robot 2D)
  - Commande en position
    - Calculer  $T$  et  $R^r$  pour que  $x \rightarrow x^r, y \rightarrow y^r, z \rightarrow z^r$
  - Commande en orientation
    - Calculer  $\Gamma$  pour que  $R \rightarrow R^r$
  - Réglage des gains pour que la dynamique de rotation converge beaucoup plus rapidement que la dynamique de translation

# Commande



# Commande en position

- Dynamique de translation :  $\dot{\xi} = v$   
 $\dot{v} = g_0 z_I - \frac{\mathcal{T}}{m} R z_I = u$

- Commande type proportionnelle dérivée :

$$u = -k_p(\xi - \xi^r) - k_d(v - v^r) \quad k_p > 0, \quad k_v > 0$$

pour stabilisation sur une position fixe :  $\xi^r = \text{cste}, v^r = 0$

$$\mathcal{T} R z_I = m (g_0 z_I + k_x(\xi - \xi^r) + k_v(v - v^r))$$

$$\begin{array}{l} \nearrow \mathcal{T} = \|\mathcal{T} R z_I\| \\ \searrow R z_I = \frac{\mathcal{T} R z_I}{\|\mathcal{T} R z_I\|} \xrightarrow{\Psi^r \text{ donné}} \theta^r \varphi^r \end{array}$$

# Commande en orientation

- Dynamique de rotation 
$$\begin{bmatrix} \dot{\phi} \\ \dot{\theta} \\ \dot{\psi} \end{bmatrix} = R_r^{-1} \Omega \quad R_r = \begin{bmatrix} 1 & 0 & -\sin \theta \\ 0 & \cos \phi & \sin \phi \cos \theta \\ 0 & -\sin \phi & \cos \phi \cos \theta \end{bmatrix}$$
$$J\dot{\Omega} = -\Omega \times J\Omega + \Gamma$$

- Hypothèse : vol quasi stationnaire => linéarisation autour des petits angles et faibles vitesses angulaires

$$\begin{bmatrix} \dot{\phi} \\ \dot{\theta} \\ \dot{\psi} \end{bmatrix} \approx \Omega \quad J\dot{\Omega} \approx \Gamma$$

$$\begin{aligned} J_x \ddot{\phi} &= \Gamma_1 \\ J_y \ddot{\theta} &= \Gamma_2 \\ J_z \ddot{\psi} &= \Gamma_3 \end{aligned}$$

- Commande type proportionnelle dérivée

$$\Gamma_1 = -k_p(\phi - \phi^r) - k_d(\Omega_\phi - \underbrace{\Omega_\phi^r}_{=0})$$

etc.

= 0 (stabilisation à un angle cst)



# Illustration



# Application au drone

- Introduction
- Modélisation
- Commande
- Estimation

# Estimation

## Capteurs embarqués

- Centrale inertielle (accéléromètre, gyromètre et magnétomètre 3 axes)
- Baro-altimètre
- GPS
- Télémètre(s) : ultrason, lidar, etc...
- Caméra(s)

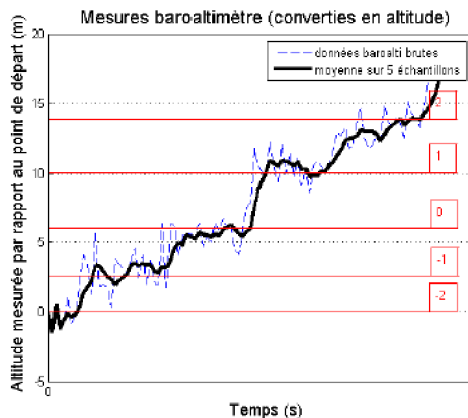
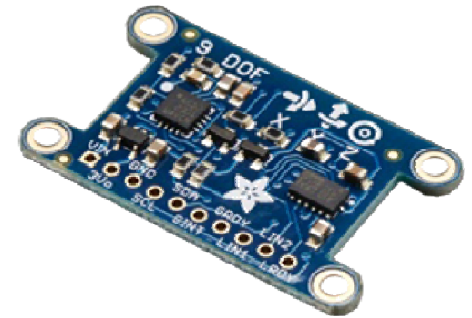


FIGURE 29: Mesure d'altitude donnée par le baroaltimètre (essai dynamique)

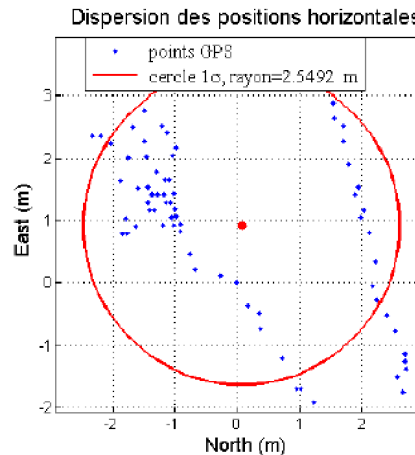


FIGURE 31: Position dans le plan horizontal donnée par le GPS (essai statique)

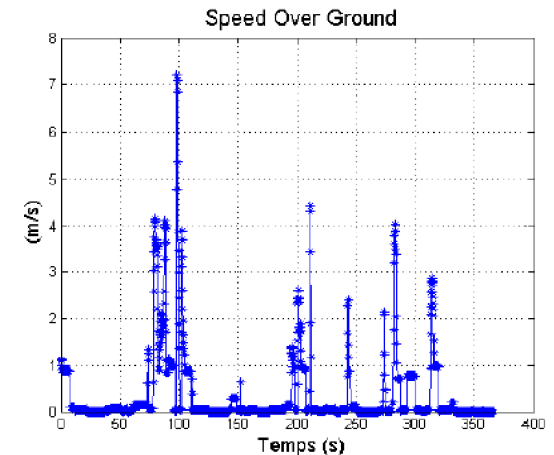
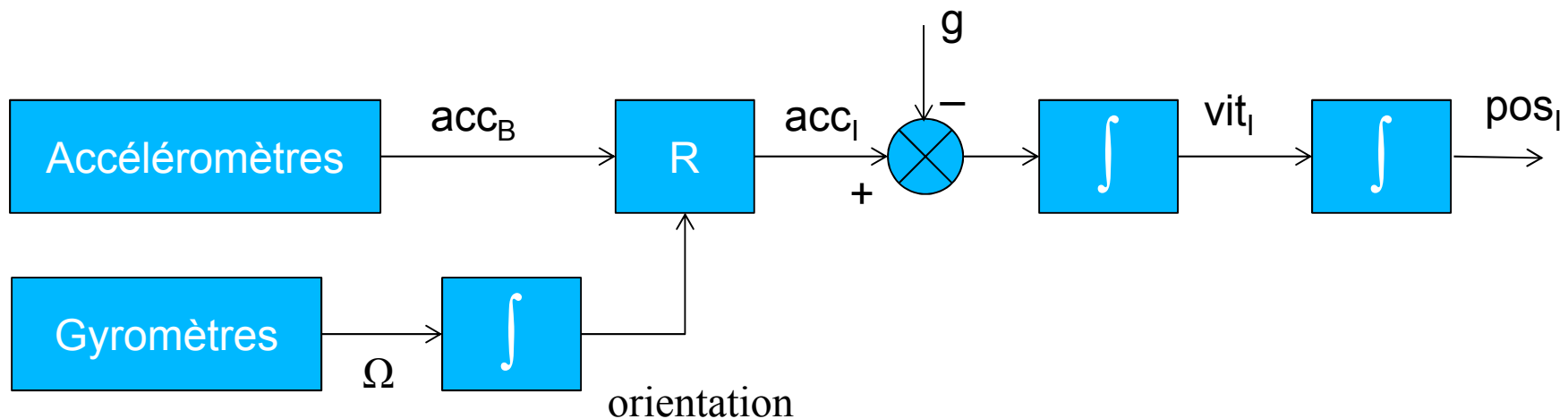


FIGURE 32: Norme de la vitesse dans le plan horizontal (essai statique)

# Estimation

## Navigation inertielle

- Principe de base : estimer l'état du véhicule à partir des capteurs de l'IMU



- Points critiques :
  - estimation de l'orientation  $R$
  - capteurs imparfaits : biais, bruit, facteur d'échelle

# Estimation

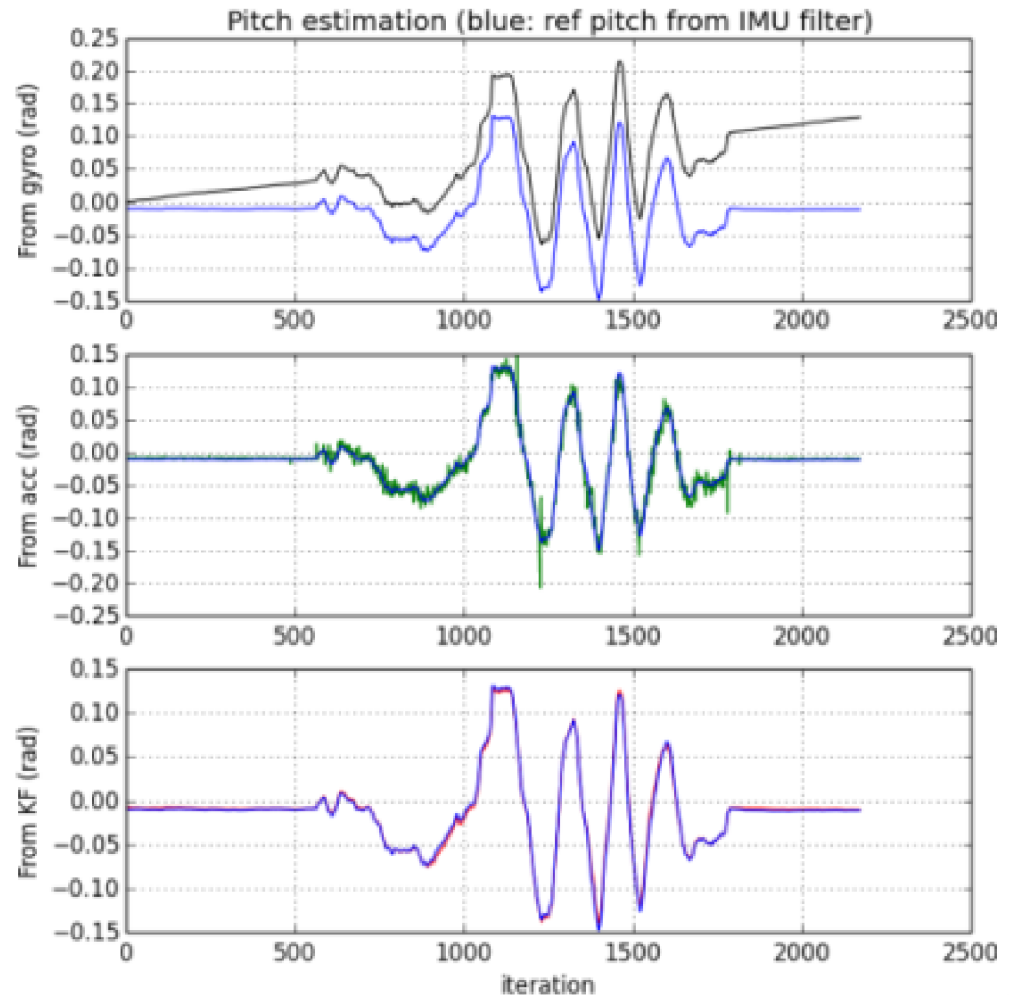
## Navigation inertielle

- Modélisation des capteurs

$$\text{mesuré} = (\text{facteur d'échelle}) * \text{vrai} + \text{biais} + \text{bruit}$$

- Estimation d'attitude à partir des mesures IMU : (cf. TD)

- Fusion gyro/acc/mag  
Deux directions  
inertielles (acc, mag)  
utilisées pour fusion  
avec gyro



# Estimation

## Navigation inertielle

- Estimation de la position

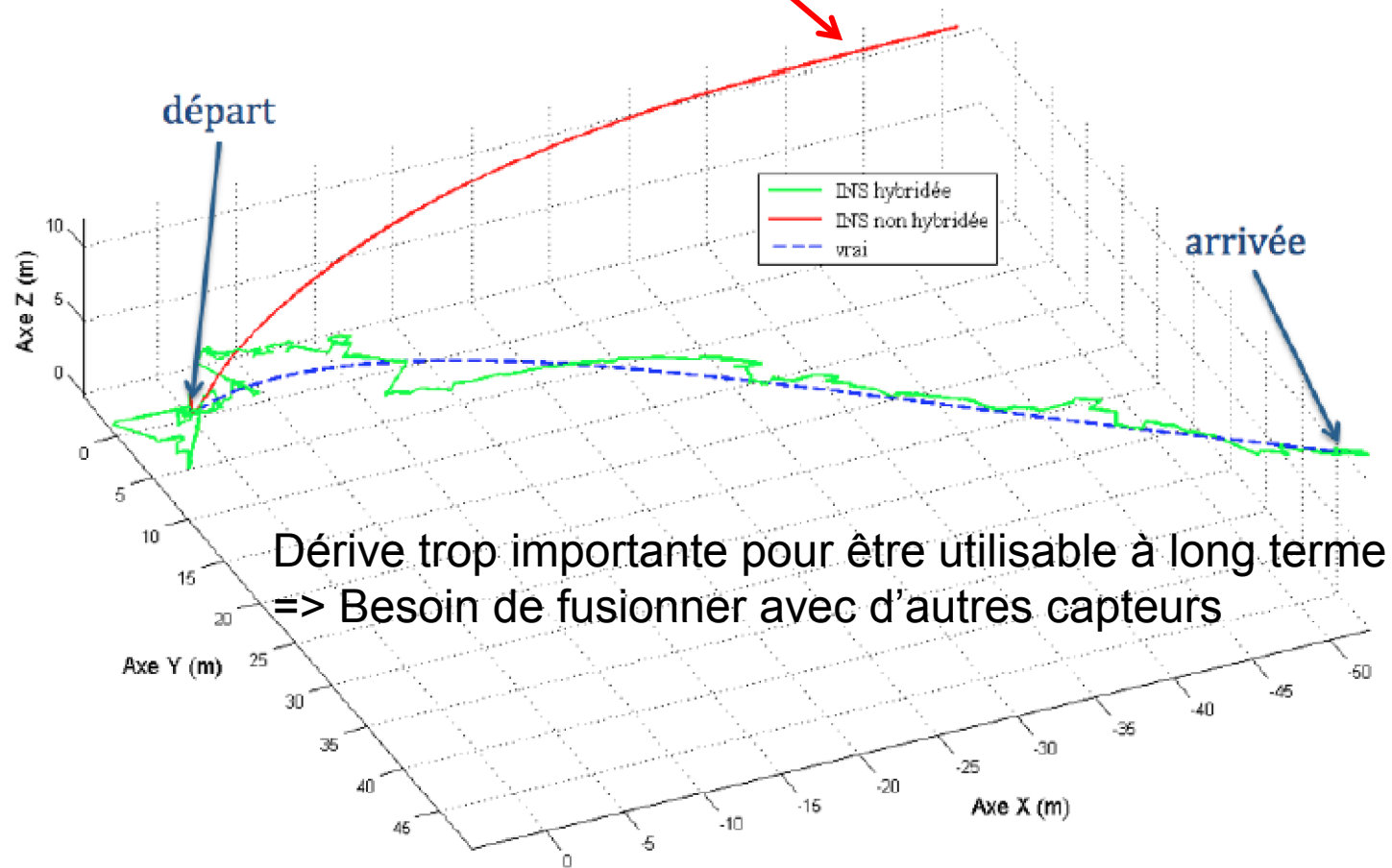


FIGURE 55: Trajectoire dans l'espace avec et sans hybridation

- Utilisation d'un filtre de Kalman
  - Prédiction à partir des mesures accélérométriques (entrée)
  - Correction à partir de mesures de position
    - ex : GPS, vision, baro-altimètre, télémètre
- Hypothèse :
  - orientation correctement estimée
    - > utilisée pour transformer les mesures accélérométriques en repère inertiel

- Modèle de prédiction : 
$$\begin{cases} \dot{p}_I = v_I \\ \dot{v}_I = a_I \end{cases}$$

Entrée du modèle :

$$\begin{aligned} \textcircled{\text{H}} \quad a_I^m &= a_I + b_I' + n_1' \\ a_I &= a_I^m + b_I + n_1 \\ b_I &= \text{cste} \end{aligned}$$

$$(a_I^m = R \cdot a_B^m - g)$$

Mesure accéléro

$$\Rightarrow \begin{cases} \dot{p}_I = v_I \\ \dot{v}_I = a_I^m + b_I + n_1 \\ \dot{b}_I = n_2 \end{cases}$$

- Mesure de position :  $p_I^m = p_I + n_3$



- Mise en équation pour application du KF :
  - Discrétisation du modèle de prédiction

$$\begin{cases} p_I(k+1) = p_I(k) + T_e \cdot v_I \\ v_I(k+1) = v_I(k) + T_e \cdot a_I^m(k) + T_e \cdot b_I(k) + T_e \cdot n_1(k) \\ b_I(k+1) = b_I(k) + T_e \cdot n_2(k) \end{cases}$$

- Représentation d'état :  $X = \begin{bmatrix} p_I \\ v_I \\ b_I \end{bmatrix}$   $U = [a_I^m]$   $Y = [p_I^m]$

$$X(k+1) = \begin{bmatrix} 1 & T_e & 0 \\ 0 & 1 & T_e \\ 0 & 0 & 1 \end{bmatrix} X(k) + \begin{bmatrix} 0 \\ T_e \\ 0 \end{bmatrix} U(k) + W(k)$$

$$Y(k) = \begin{bmatrix} 1 & 0 & 0 \end{bmatrix} X(k) + V(k)$$

# Conclusion

On sait donc :

- modéliser la dynamique d'un drone miniature (type quadrirotor)
  - plusieurs représentation de l'orientation
- calculer les commandes en position et en orientation pour stabiliser le drone à un point donné
- fusionner les mesures des capteurs à bord du véhicule pour estimer son orientation (cf. TD), sa position et sa vitesse